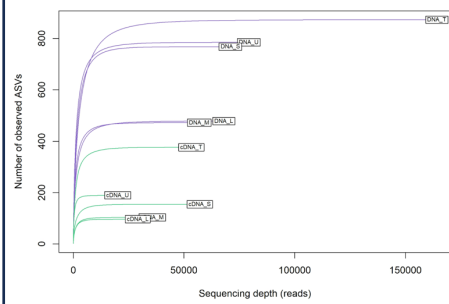
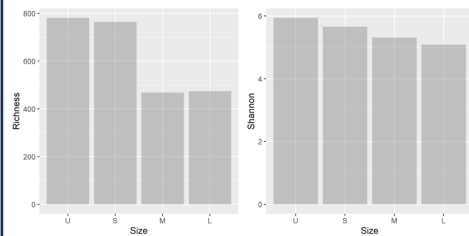


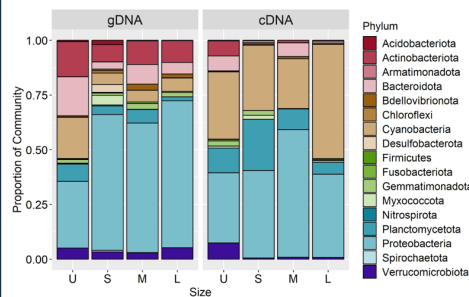
**Figura 1.** Toxicidad (medida como concentración de microcistinas y de *mcyE* por célula) medida para cada fracción de tamaño. U: menores a 20 µm; S: entre 20 y 60 µm; M: entre 60 y 150 µm; L: mayores a 150 µm.



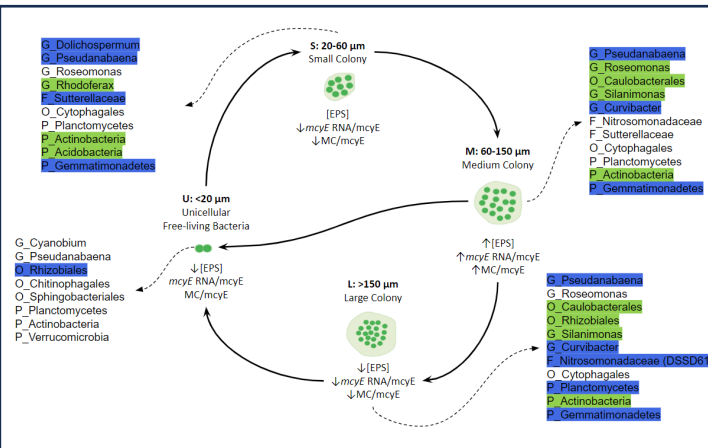
**Figura 2.** Curvas de rarefacción por muestra. U: menores a 20 µm; S: entre 20 y 60 µm; M: entre 60 y 150 µm; L: mayores a 150 µm.



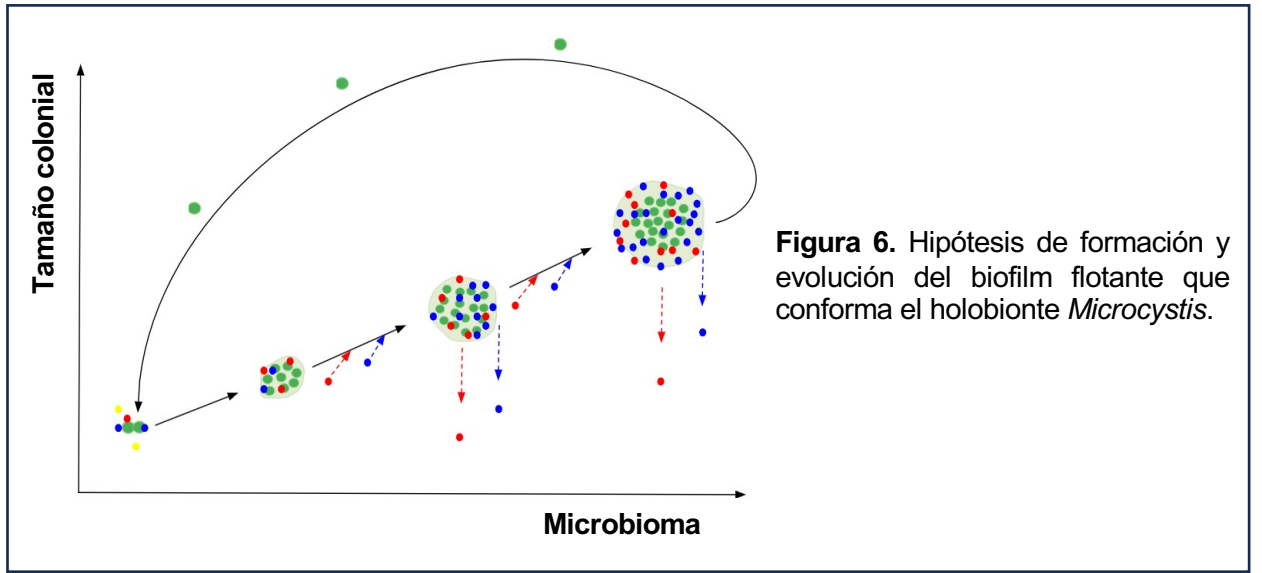
**Figura 3.** Índices de riqueza (A) y diversidad de Shannon (B) calculados para cada fracción de tamaño U: menores a 20 µm; S: entre 20 y 60 µm; M: entre 60 y 150 µm; L: mayores a 150 µm.



**Figura 4.** Abundancia relativa de los distintos filos bacterianos en cada fracción de tamaño U: menores a 20 µm; S: entre 20 y 60 µm; M: entre 60 y 150 µm; L: mayores a 150 µm.



**Figura 5.** Resumen conceptual de los resultados obtenidos en el Proyecto y de trabajos anteriores. Se muestran los resultados de la caracterización de la comunidad y su actividad. Únicamente se tendrán en cuenta aquellos taxones con abundancia o actividad mayor o igual al 5%. En verde, los taxones presentes en la comunidad bacteriana y en azul los taxones activos en cada fracción.



**Figura 6.** Hipótesis de formación y evolución del biofilm flotante que conforma el holobionte *Microcystis*.